

05; 10; 12

© 1990 г.

**«ОТБОР» ЧАСТИЦ ПО КРИТЕРИЮ  
«МАЛЫХ ЭНЕРГЕТИЧЕСКИХ ПОТЕРЬ» В КРИСТАЛЛЕ**

*Н. А. Кудряшов, С. В. Петровский, В. М. Самсонов, М. Н. Стриханов*

Предложено кинетическое уравнение, описывающее распределение потерь энергии быстрых заряженных частиц в кристалле с учетом многократного рассеяния в поле атомных плоскостей. Выбран алгоритм решения и численно рассчитаны распределения ионизационных потерь для релятивистских протонных пучков. Показано, что для узкого пучка при влете под углами  $\Theta_0 > \Theta_L$  (где  $\Theta_L$  — критический угол Линдхарда) распределение ионизационных потерь с хорошей точностью совпадает с распределением Ландау. При влете под малыми углами  $\Theta_0 < \Theta_L$  максимум распределения ионизационных потерь значительно смещен в область малых потерь. Для широкого пучка получена характерная «структура», соответствующая вкладу канализированных частиц. Рассмотрена также важная в приложениях задача «отбора» частиц по критерию «малых ионизационных потерь».

Как показали эксперименты CERN [1], ОИЯИ [2], ЛИЯФ [3], Fermilab [4], методика измерения энергетических потерь является эффективным способом определения поперечного состояния быстрых заряженных частиц в кристаллах, что необходимо для идентификации повернутой части пучка с помощью изогнутого кристалла [5].

Для расчета энергетических потерь в тонких слоях аморфного вещества в настоящее время используется теория Ландау [6]. Эта теория, однако, неприменима для кристаллов и не объясняет результаты экспериментов [1–4], когда пучок влетает почти вдоль одной из главных кристаллографических осей или плоскостей кристалла.

В данной работе впервые предложено кинетическое уравнение, описывающее потери энергии БЭЧ в кристалле с учетом многократного рассеяния в поле атомных плоскостей. Численно рассчитаны распределения энергетических потерь для релятивистских протонных пучков, влетающих под малыми углами к кристаллографическим плоскостям кремния. Показано, что для узких пучков  $\Delta\Theta_0 < \Theta_L$  (где  $\Theta_L$  — критический угол Линдхарда) при влете под углами  $\Theta_0 > \Theta_L$  распределение энергетических потерь с хорошей точностью совпадает с распределением Ландау [6]. При влете под малыми углами  $\Theta_0 < \Theta_L$  максимум распределения потерянной энергии значительно смещен в область малых потерь. На основе разработанного численного алгоритма рассмотрена задача «отбора» частиц по критерию «малых энергетических потерь» и проведены сравнения с экспериментами ЛИЯФ и Fermilab.

Уравнение Больцмана для функции распределения (ФР) БЭЧ в поле плоскостей кристалла имеет вид

$$\frac{\partial f(t, p_x, \Delta, x)}{\partial t} + v_x \frac{\partial f}{\partial x} + F_x \frac{\partial f}{\partial p_x} = I_{st}^e + I_{st}^i, \quad (1)$$

где  $t$  — время (глубина);  $x$  — поперечная к плоскостям координата;  $p_x$ ,  $v_x$  — локальные поперечные импульс и скорость;  $F_x = -\partial U/\partial x$  — поперечная сила;  $U(x)$  — потенциал атомных плоскостей;  $\Delta = E - E'$  — потери энергии.

Интеграл столкновений представим в виде суммы упругой и неупругой частей [7], причем в упругой части можно произвести стандартное разложение по передаваемым импульсам;

$$I_{st} \approx \frac{1}{2} \frac{\partial^2}{\partial p_x^2} [\langle q_x^2(x) \rangle f(t, p_x, \Delta, x)],$$

где

$$q_x^2 = \frac{1}{2} v p^2 \langle \Delta \Theta^2 / \Delta s \rangle, \langle \Delta \Theta^2(x) / \Delta s \rangle$$

— средний квадрат угла многократного рассеяния в кристалле, равный сумме вкладов от рассеяния на колеблющихся ядрах и электронах кристалла [8].

Перейдем в (1) к новой переменной — поперечной энергии  $E_\perp = p_x^2 / 2E + U(x)$  (адиабатический инвариант). Предполагая выполненным условие статистического равновесия Линдхарда, представим ФР в виде

$$f(t, p_x, \Delta, x) dp_x = \Phi(t, E_\perp, \Delta) \frac{d}{T(E_\perp) v_x(x, E_\perp)} dE_\perp, \quad (2)$$

где  $\Phi(t, E_\perp, \Delta)$  — ФР по поперечным энергиям;  $d$  — межплоскостное расстояние;  $v_x(x, E_\perp) = \sqrt{(2/E) [E_\perp - U(x)]}$  — поперечная скорость;  $T(E_\perp) = \int dx/v_x(x, E_\perp)$  — период движения.

Для  $\Phi(t, E_\perp, \Delta)$  можно получить из (1) уравнение

$$\begin{aligned} \frac{\partial \Phi(t, E_\perp, \Delta)}{\partial t} &= \frac{1}{2v} \frac{\partial}{\partial E_\perp} D(E_\perp) \frac{\partial}{\partial E_\perp} \left[ \frac{\Phi(t, E_\perp, \Delta)}{T(E_\perp)} - \right. \\ &\quad \left. - \times(E_\perp) \frac{\partial \Phi}{\partial \Delta} + \int d\epsilon w(\epsilon, E_\perp) \left[ \Phi|_{\Delta-\epsilon} - \Phi|_\Delta + \epsilon \frac{\partial \Phi}{\partial \Delta} \right]_\Delta \right]. \end{aligned} \quad (3)$$

Уравнение (3) выведено для тонкого кристалла, когда потери энергии малы и можно пренебречь зависимостью соответствующих коэффициентов от полной энергии частицы. Заметим, что обычно удобно выделить в уравнение «средние потери» на единицу пути (эффективное торможение)  $\times(E_\perp)$ , что и сделано в (3). Уравнение (3) без первого слагаемого в правой части совпадает с уравнением Ландау [6]. В пренебрежении потерями энергии (опуская два последних слагаемых в правой части (3)), имеем уравнение, описывающее диффузию частиц по поперечным энергиям вследствие многократного рассеяния в поле плоскостей кристалла [9], причем  $D(E_\perp)$  — коэффициент диффузии по поперечным энергиям.

Для частицы с поперечной энергией  $E_\perp$  методами квантовой электродинамики можно получить следующее выражение для эффективного торможения:

$$\times(E_\perp) = \frac{2\pi Z_1^2 e^4}{mv^2} \left\{ [\rho_e^{am} + \rho_e(E_\perp)] \cdot \left[ \ln \left( \frac{2mv^2\gamma^2}{I} \right) - \beta^2 \right] + C(E_\perp) - \rho_e^{am}\delta \right\}, \quad (4)$$

где  $m$  — масса электрона;  $Z_1$  — заряд частицы;  $\rho_e^{am}$  — средняя электронная плотность в кристалле;  $\gamma$  — релятивистский фактор;  $\beta = v/c$ ,  $c$  — скорость света;  $I$  — ионизационный потенциал;  $\delta$  — поправка на эффект плотности;

$$\rho_e(E_\perp) = \frac{1}{T(E_\perp)} \int \frac{dx}{v_x(x, E_\perp)} \rho_e(x) \quad (5)$$

— электронная плотность в кристалле, усредненная вдоль траектории частицы с поперечной энергией  $E_\perp$ ;

$$C(E_\perp) = \frac{1}{T(E_\perp)} \int \frac{dx}{v_x(x, E_\perp)} \left[ \sum_{k_x \neq 0} \rho_e(k_x) e^{ik_x x} \ln \left( \frac{2mI}{\hbar^2 k_x^2} \right) \right]$$

— функция, введенная в [10] и учитывающая «Umklapp»-процессы.

Заметим, что формула (4) соответствует усреднению вдоль траектории частицы эффективного торможения, приведенного в [1].

Рассматривая не слишком малые потери энергии  $\varepsilon \gg (\varepsilon_{\text{ат}}, \hbar^2/(2mR^2))$  (где  $\varepsilon_{\text{ат}}$  — характерная величина энергии связи атомных электронов,  $R$  — радиус экранирования атомов), имеем с хорошей точностью

$$w(\varepsilon, E_{\perp}) = \frac{2\pi Z_1^2 e^4}{mv^2} \rho_e(E_{\perp}) \frac{1}{\varepsilon^3}. \quad (6)$$

Заметим, что при  $E_{\perp} \gg U$  имеем  $\rho_e(E_{\perp}) \approx \rho_e^{am}$  — и формулы (4), (6) совпадают с известными выражениями для аморфной среды.

Нетрудно видеть, что в интеграле уравнения (3) эффективны значения  $\varepsilon_{\text{eff}} \sim \Delta$ . В свою очередь наиболее вероятные значения потерь  $\Delta_{\text{пп.р}}$  растут с толщиной кристалла [6], составляя, например, для экспериментов [1-4] величины порядка 0.2–10 МэВ. Таким образом, исключая из рассмотрения ультратонкие кристаллы, можно считать необходимое условие на  $\varepsilon$  выполненным и использовать формулу (6).

Начальное условие для уравнения (3) имеет вид

$$\Phi(t=0, E_{\perp}, \Delta) = f_{in}(E_{\perp}) \delta(\Delta), \quad (7)$$

где  $f_{in}(E_{\perp})$  — начальное распределение по поперечным энергиям: дельта-функция отвечает начальной многоэнергетичности пучка.

Решение уравнения (3) имеет наиболее простой вид для «долгоживущих» состояний с малой поперечной энергией  $E_{\perp}$ , когда длина деканализации больше толщины кристалла. Получаем в этом случае

$$\Phi(t, E_{\perp}, \Delta) = \frac{f_{in}(E_{\perp})}{\xi(t, E_{\perp})} \varphi_L(\tilde{\lambda}(E_{\perp})), \quad (8)$$

где  $\xi(t, E_{\perp}) = (2\pi Z_1^2 e^4/mv^2) \rho_e(E_{\perp})(vt)$ ;  $\varphi_L(\lambda)$  — универсальная функция Ландау [8], аргумент которой равен

$$\begin{aligned} \tilde{\lambda}(E_{\perp}) = & \frac{\Delta}{\xi} - \frac{1}{\tilde{\rho}_e(E_{\perp})} \left[ \ln \left( \frac{2m\gamma^2 v^2}{I} \right) - \beta^2 + \right. \\ & \left. + \tilde{C}(E_{\perp}) - \delta \right] - \ln \left( \frac{\xi}{I} \right) - 0.423. \end{aligned} \quad (9)$$

Здесь  $\tilde{\rho}_e(E_{\perp}) = \rho_e(E_{\perp})/\rho_e^{am}$ ;  $\tilde{C}(E_{\perp}) = C(E_{\perp})/\rho_e^{am}$ . Максимум функции Ландау находится при  $\lambda_m = -0.225$ , «ширина» распределения Ландау (FWHM) равна  $\Delta\lambda_{1/2} \approx 4.02$ . Отсюда можно определить «наиболее вероятные» потери и «страгглинг» потерь.

Следует отметить, что даже для пучков с малой угловой шириной начальное распределение по поперечным энергиям  $f_{in}(E_{\perp})$  достаточно «широкое», т. е. в нем имеются «короткоживущие» состояния с  $E_{\perp} \sim U_0$ , для которых решение (8) неприменимо. Поэтому в данной работе интегродифференциальное уравнение (3) с начальным условием (7) решалось численно локально-одномерным разностным методом.

На рис. 1 приведены распределения энергетических потерь

$$\xi(\Delta, t) = \int dE_{\perp} \Phi(t, E_{\perp}, \Delta)$$

для узкого пучка протонов (угловая ширина  $\Delta\Theta_0 = 0.25 \Theta_L$ ) с импульсами  $p = 15$  ГэВ/с, влетающего под углами  $\Theta_0/\Theta_L = 5, 1.0, 0.5, 0$  к (100) плоскости кристалла Si толщиной 0.9 мм. При  $\Theta_0/\Theta_L = 5$  (кривая 1) получаем распределение, с хорошей точностью совпадающее с распределением Ландау [6]. При  $\Theta_0/\Theta_L = 0.5$  (кривая 3) имеем два пика, отвечающих канализированным и неканализированным частицам. При  $\Theta_0/\Theta_L = 1$  (кривая 2), максимум потерь смешен несколько правее, чем следует из теории Ландау, что связано с вкладом «зависающих» над плоскостями частиц с  $E_{\perp} \approx U_0$ , имеющих несколько большие потери. При  $\Theta_0 = 0$  (кривая 4) максимум распределения значительно смешен влево (аномально малые потери канализированных частиц).

На рис. 2 представлены распределения энергетических потерь для «широкого» протонного пучка  $\Delta\Theta_0=0.05$  мрад с импульсами 15 ГэВ/с при влете вдоль (110) плоскости кристалла Si толщиной 0.9 мм с учетом отбора частиц с малыми углами вылета к плоскостям  $\Theta_{\text{out}}=0.05$  мрад

$$\xi_*(\Delta, t) = \int dE_\perp \Phi(t, E_\perp, \Delta) \eta(E_\perp),$$

где

$$\eta(E_\perp) = \frac{1}{T(E_\perp)} \int_{v_x/v \leq \Theta_{\text{out}}} dx/v_x(x, E_\perp)$$

— доля частиц с поперечной энергией  $E_\perp$ , удовлетворяющих критерию углового отбора.

Штриховой кривой обозначен эксперимент [1], сплошная — теория.

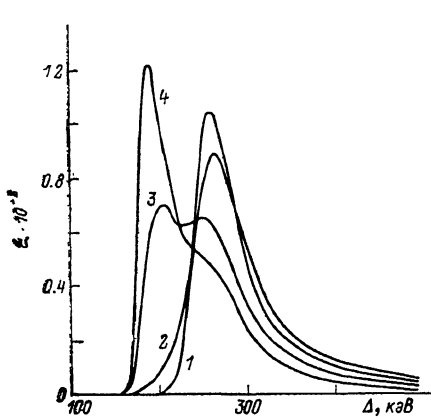


Рис. 1.

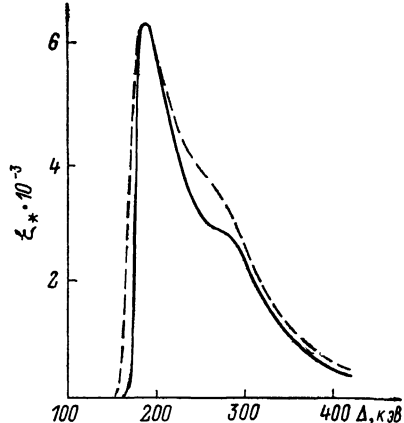


Рис. 2.

### Отбор по критерию «малых энергетических потерь»

В экспериментах [2, 3, 10] отбор «хорошо канализированных» частиц осуществлялся по критерию «малых ионизационных потерь». Проиллюстрируем схему расчетов на примере кристалла с двумя детекторами типа «живая мишень» [1]. Первый детектор отбирает частицы, потери которых расположены в заданном интервале  $\Delta_1 \leq \Delta \leq \Delta_2$ . Затем распределение потерь отобранных частиц анализируется вторым детектором.

В области  $z_1 \leq vt \leq z_2$  необходимо сформировать функции заселенности поперечных состояний  $f_{\text{in}}(E_\perp)$  (см. (7)) перед влетом во второй детектор. Для этого в области первого детектора необходимо решить уравнение (3), затем «вырезать» энергетическое окно»

$$f_{\text{in}}(E_\perp) = \int_{\Delta_1}^{\Delta_2} d\Delta \Phi(t, E_\perp, \Delta).$$

В области  $z_2 \leq vt \leq z_3$  надо учесть эволюцию функции распределения по поперечным энергиям, т. е. решить соответствующее кинетическое уравнение [9] с начальным условием  $f_{\text{in}}(E_\perp)$ . Полученную таким образом функцию распределения по поперечным распределениям следует учитывать в формуле (7) как «начальное» распределение по поперечным энергиям перед влетом во второй детектор. На рис. 3 приведено сравнение предложенной теории с экспериментом [11] для распределений энергетических потерь во втором детекторе в случае широкого пучка протонов с энергией 200 ГэВ, влетающего вдоль (110) плоскости Si, для всех частиц пучка (кривая I), для частиц, имею-

ших малые энергетические потери в первом детекторе (кривая 2). Сплошные кривые — эксперимент [11], штриховые кривые — расчет.

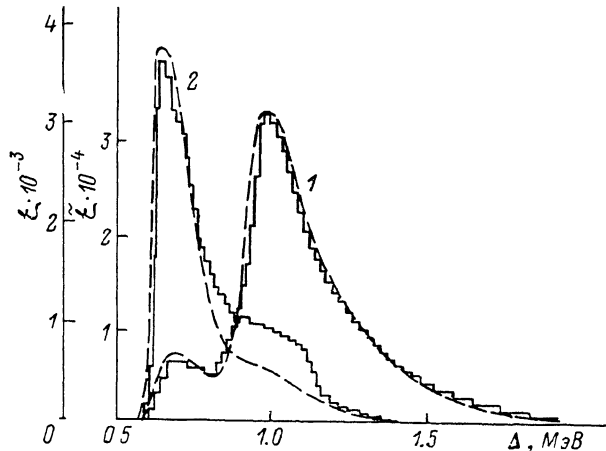


Рис. 3.

В изогнутом кристалле (ИК) удобно пучок частиц разделить на канализированную и неканализированную фракции. Для канализированных частиц справедливо прежнее уравнение (3), где, однако, надо полагать  $E_{\perp} < \varepsilon_c$  ( $\varepsilon_c$  — критическая поперечная энергия связанныго движения в поле изогнутых плоскостей), т. е. в потенциале  $U_{\phi}(x) = U(x) - pvx/R$  ( $R$  — радиус изгиба кристалла) [5].

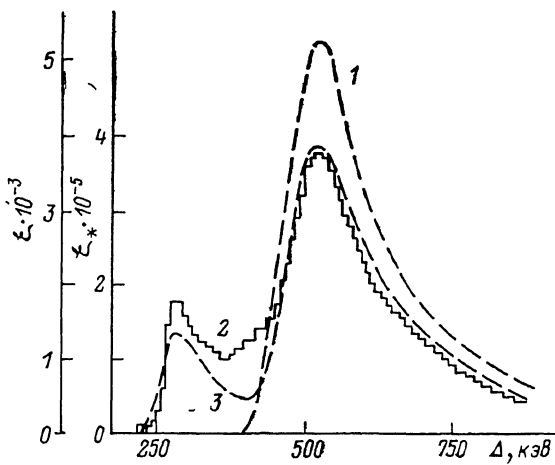


Рис. 4.

Для неканализированных частиц переходим в (1) к переменным  $(t, p'_{\perp}, \Delta, x)$ , где  $p'_{\perp} = \sqrt{2E'E_{\perp}}$ ,  $E'_{\perp} = p'^{\pi}_{\perp}/2E + U(x)$  — поперечная энергия в «прямом кристалле». Аналогично приведенному выше выводу получаем следующее уравнение для ФР неканализированных частиц [12]:

$$\frac{\partial \Phi_2(t, p'_{\perp}, \Delta)}{\nu dt} + \frac{pd}{R} \frac{\partial}{\partial p'_{\perp}} \left( \frac{\Phi_2}{\nu'_{\perp} T_2(E'_{\perp})} \right) = \frac{\partial}{\partial p'_{\perp}} \left( \frac{D_2(E_{\perp})}{\nu'_{\perp}} \frac{\partial}{\partial p'_{\perp}} \left( \frac{\Phi_2}{\nu'_{\perp} T_2} \right) \right) - \chi_2(E'_{\perp}) \times \\ \times \frac{\partial \Phi_2}{\partial \Delta} + \int d\varepsilon w_2(\varepsilon, E'_{\perp}) \left[ \Phi_2|_{\Delta-\varepsilon} - \Phi_2|_{\Delta} + \varepsilon \frac{\partial \Phi_2}{\partial \Delta} \Big|_{\Delta} \right],$$

где  $\nu'_{\perp} = p'_{\perp}/p$ , а величины  $T_2(E'_{\perp})$ ,  $D_2(E'_{\perp})$ ,  $\chi_2(E'_{\perp})$ ,  $w_2(\varepsilon, E'_{\perp})$  могут быть получены из соответствующих величин для канализированных частиц  $T_1(E_{\perp})$ ,  $D_1(E_{\perp})$ ,

$x_1(E_\perp)$ ,  $w_1(\varepsilon, E_\perp)$  заменой  $E_\perp \rightarrow E'_\perp$ ,  $U_{\text{эф}} \rightarrow U$  и промежутка интегрирования  $[x_1, x_2] \rightarrow [0, d]$  (где  $x_1, x_2$  — классические точки поворота).

Для учета обмена частицами между канализированной и неканализированной фракциями пучка необходимо соответствующим образом сплить ФР и потоки канализированных и неканализированных частиц.

На рис. 4 приведены распределения энергетических потерь в детекторе 3 [3] для широкого  $\Delta\Theta_0=44$  мрад протонного пучка ( $E_{\text{кин}}=1$  ГэВ) в ИК кремния (изгибалась (111) плоскость;  $R=46$  см) для всех частиц пучка (кривая 1) и для частиц, имеющих «малые энергетические потери» (0.74 от «нормальных») в детекторе 2 (кривые 2, 3, сплошная кривая — эксперимент [3], штриховая кривая — теория). Так как длина деканализирования в рассматриваемом случае сравнительно низкой энергии ( $l_g \approx 1.2$  мм [3]) меньше, чем расстояние между детекторами, то значительная часть протонов успевает деканализировать в области между двумя детекторами, что приводит к относительно большой доле «нормальных» потерь на кривых 2, 3. В этом отличие от случая протонного пучка высокой энергии (рис. 3), где после «отбора» доля частиц с «нормальными» потерями весьма мала.

### Список литературы

- [1] Esbensen H., Fich O., Golovchenko J. A. et al. // Phys. Rev. 1978. Vol. 18B. N 3. P. 1039—1054.
- [2] Водопьянов А. С., Головатюк В. М., Елишев А. Ф. и др. // Письма в ЖЭТФ. 1979. Т. 30. Вып. 7. С. 474—478.
- [3] Андреев В. А., Баублис В. В., Дамаскинский А. // Письма в ЖЭТФ. 1982. Т. 36. Вып. 9. С. 340—343.
- [4] Hasan M., Kanofsky A. S., Allen R. et al. // Phys. Rev. 1983. Vol. 27A. N 1. P. 395—407.
- [5] Сумбаев О. И. // ЖТФ. 1987. Т. 57. Вып. 11. С. 2067—2077.
- [6] Ландау Л. Д. Собрание научных трудов. М.: Наука, 1969. Т. 1. 452 с.
- [7] Rossi Б. Частицы больших энергий. М.: Гостехтеориздат, 1955. 430 с.
- [8] Kitagawa M., Ohtsuki Y. H. // Phys. Rev. 1973. Vol. 8B. N 7. P. 3117—3123.
- [9] Белошицкий В. В., Кумахов М. А. // ДАН СССР. 1973. Т. 221. № 4. С. 846—849.
- [10] Esbensen H., Golovchenko J. A. // Nucl. Phys. 1978. Vol. 298A. N 1. P. 382—396.
- [11] Forster J. C. // Relativistic Channeling. New York, 1987. P. 39—56.
- [12] Кудряшов Н. А., Петровский С. В., Стриханов М. Н. // ЯФ. 1988. Т. 48. Вып. 3. С. 666—669.

Московский инженерно-физический  
институт

Поступило в Редакцию  
17 апреля 1989 г.